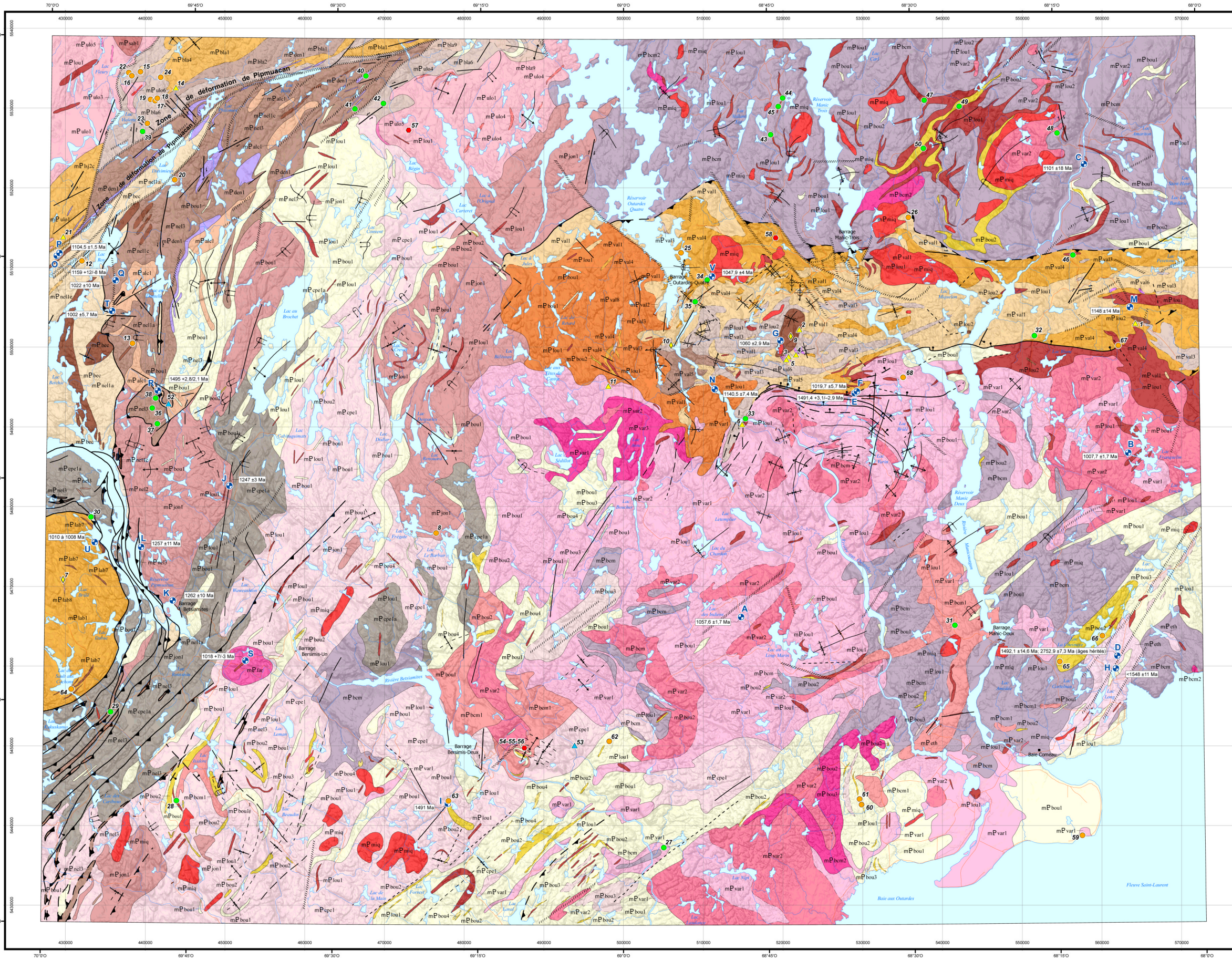


Synthèse géologique - BAIE-COMEAU

22F



LÉGENDE STRATIGRAPHIQUE

MÉSOPROTÉROZOÏQUE

- Granite de Étlier** (mP eth) Granite à grenat, de granulométrie moyenne et de couleur blanchâtre ou grisâtre
- Suite de Louis** (<1060 ±2.9 Ma; David, 2006) (mP lous) Gabbro et gabbroïte à forte susceptibilité magnétique, localement riche en oxydes de fer et de titane (ilménite), en magnétite et en apatite, classé OAGN (Oxydes-Apatite-Gabbroïte). L'unité contient de rares niveaux de pyroxénite et de néosérite
- Gabro, gabbroïte à texture optique ou suboptique, contenant de l'orthopyroxène ou du clinopyroxène en partie ou entièrement remplacés par de la hornblende, diorite et gabro en lambeaux, en enclaves ou en injections boudinées dans les unités encaissantes, pyroxénite
- Troctolite de Betché** (1022 ±5.7 Ma; David, 2006) (mP bet) Leucotroctolite et troctolite, à texture coronitique, massives à foliées et violacées. Quantité mineure d'anorthosite
- Massif anorthositique alcalin de Labrieville** (1010-1008 Ma; Owens et al., 1994) (mP lab) Niveaux d'hémo-ilménite massifs d'épaisseur métrique à décimétrique
- Gabbroïte porphyrique à oxydes de fer et de titane (hémo-ilménite, magnétite) et à apatite (OAGN = Oxydes-Apatite-Gabbroïte)
- Anorthosite stratifiée et recristallisée à plagioclase rose, contenant une quantité mineure de norite et de leuconorite sous forme de veines et de veines. Quantité mineure de veines riches en oxydes de fer et de titane (ilménite-magnétite)
- Mangérite de Sabot** (1017 ±2 Ma; Gobeil et al., 2002) (mP sab) Mangérite massive à foliée, à grain moyen, mégacrystique, un peu de gabbroïte
- Monzonite de Farmer** (1018 ±7.3 Ma; Émilie et Hunt, 1990) (mP far) Granite et monzonite foliées, avec ou sans orthopyroxène, contenant des enclaves et des lambeaux de roches supracrustales
- Mangérite d'Alcantara-Dion** (1022 ±10 Ma; David et al. en préparation) (mP alc) Monzonite verte avec ou sans orthopyroxène (mangérite), un peu de granite et de charnockite
- Suite de Miquelon** (1047.9 ±4 Ma; David, 2006) (mP miq) Monzonite quartzifère et granite, généralement massifs, de granulométrie moyenne à grossière
- Suite plutonique de Varin** (1057-1007 Ma; David, 2007; David et al., 2009) (mP var) Gneiss granitique ou monzonitique quartzifère, porphyroclastiques, provenant de la déformation des granites ou des monzonites porphyriques de l'unité mPvar1
- Granite et monzonite quartzifère à orthopyroxène, de couleur verdâtre, contenant localement des phénocristaux de feldspath potassique à microperthites, équivalent charnockitique de l'unité mPvar1
- Granite et monzonite quartzifère à texture porphyroïde, aspect massif, folié ou ocellé, de couleur blanchâtre en surface altérée et rosée en surface fraîche
- Anorthosite de Vanell** (1080-1061 Ma; Hébert et al., 2009) (mP van) Gabbroïte à oxydes de fer et de titane avec ou sans apatite (OAGN), lambeaux de gabbroïte, de leuconorite, d'anorthosite, de norite, de gabro, de leucotroctolite et des niveaux de pyroxénite
- Anorthosite et leuconorite à plagioclase rose et à pyroxène olivocristique
- Ferrogabbro à olivine
- Troctolite, leucotroctolite, anorthosite à olivine et un peu d'anorthosite
- Leuconorite, anorthosite, leucotroctolite, norite et gabbroïte, à texture coronitique et à plagioclase rose. Niveaux de composition intermédiaire, mafique et ultramafique, enrichis en oxydes de fer et de titane avec ou sans apatite (OAGN)
- Formation de Lac en Dentelle** (mP den) Roches calcosilicatées, niveaux minces de diopside, paragneiss et marbre
- Complexes de Baie-Comeau** (1101 ±18 Ma; David, 2007; David et al., 2009) (mP bcm) Gneiss indifférenciés comprenant des gneiss tonaliques, des gneiss granitiques et des gneiss granulitiques
- Gneiss granitique
- Gneiss granulitique de composition tonalitique
- Suite anorthositique de Vallant** (1148 Ma; David et al. en préparation) (mP val) Monzonite à olivine, massive à foliée, litage primaire commun défini par des lits centimétriques à décimétriques riches en minéraux ferromagnésiens
- Troctolite, dunite (serpentinisée à magnétite et ilménite), péridote à magnétite et ilménite, niveaux de magnétite à ilménite, olivine et plagioclase
- Troctolite massive, parfois litée, de granulométrie fine, brunâtre en surface d'altération et verdâtre en surface fraîche, composée d'environ 70 % de plagioclase, de 30 % d'olivine et d'un peu d'orthopyroxène, de clinopyroxène, de hornblende brune et d'oxydes de fer
- Leuconorite à texture coronitique, massive, foliée ou litée, à granulométrie moyenne à grossière, amas d'oxydes de fer et de titane. Quantité mineure d'anorthosite
- Leucotroctolite et troctolite, à texture coronitique à granulométrie moyenne à grossière, massives, foliées ou litées, renfermant entre 10 et 25 % de minéraux ferromagnésiens, amas de magnétite coronitique. Quantité mineure d'anorthosite
- Anorthosite mégacrystique à cristaux décimétriques de plagioclase, enclaves de roche anorthositique ou leuconoritique
- Anorthosite recristallisée de granulométrie moyenne à grossière et de couleur gris-blanchâtre à texture porphyroclastique et granoblastique. Quantité mineure de leuconorite
- Suite anorthositique de Lac-Saint-Jean** (1160-1140 Ma; Higgins et van Breemen, 1996) (mP lsj) Anorthosite et leuconorite, à plagioclase gris clair à blanc, parfois mouchetées (orthopyroxène). Contenant de petits niveaux de gabbroïte enrichis en oxydes de fer et de titane
- Mangérite de Joncas** (1247 ±3 Ma; David et al. en préparation) (mP jon) Monzonite verte, parfois rosée à orthopyroxène (mangérite), granite et charnockite. Ces faciès sont généralement massifs et porphyriques, contenant des phénocristaux de feldspath potassique pouvant constituer jusqu'à 60 % de la roche

Suite plutonique mafique de De La Blache (1327±16 Ma; Gobeil et al., 2002)

- Mangérite
- Gabbroïte, un peu de troctolite, de gabbroïte à olivine, de gabbroïte à oxydes de fer et de titane et d'apatite (OAGN), de leuconorite, de norite, de syénite, d'anorthosite et de mangérite
- Anorthosite à globules de leucotroctolite ou de leuconorite
- Leucotroctolite, un peu de troctolite, de leuconorite, de norite, d'anorthosite à globules de leucotroctolite et de leucotroctolite à globules d'anorthosite
- Anorthosite mégacrystique, un peu de leucotroctolite, de leuconorite ou de norite, d'anorthosite à globules de leucotroctolite et de leucotroctolite à globules d'anorthosite

- Complexe gneissique du Cap à l'Est** (1391 ±6.7 Ma; Hébert et van Breemen, 2004a) (mP cpe) Gneiss granitique, monzonitique, granitique, granodioritique et syénitique avec ou sans orthopyroxène, renfermant des enclaves d'anorthosite et de gabro, des enclaves et/ou des fragments de dykes d'amphibolite et des écrans de roches supracrustales (paragneiss, quartzite, amphibolite, roches calcosilicatées)
- Faciès mPcpe1 très déformé (gneiss droit, couloir de déformation)

- Complexe de Hulot** (1434 ±64 Ma; Gobeil et al., 2002) (mP hul) Charnockite à biotite et hornblende, foliée, à grain grossier
- Granite à biotite et hornblende, folié, à grain moyen
- Granite et monzonite mégacrystiques, à biotite et à hornblende, parfois à orthopyroxène
- Tonalite à diorite contenant de la biotite et hornblende, grain moyen à grossier, foliée à gneissique. Enclaves de paragneiss, de roches calcosilicatées, d'amphibolite et de gneiss quartzofeldspathique
- Gneiss tonalitique à diorite dérivé de la déformation et de la migmatitisation des faciès de mPulo2 (enderbite foliée), mPulo3 (tonalite à diorite), mPulo4 (granite-monzonite), mPulo5 (granite), mPulo6 (charnockite), mPulo7 (biotite à matrice mangériteuse). Renferme des rideaux de roches supracrustales (paragneiss, paragneiss migmatitisés et migmatite) et d'amphibolite

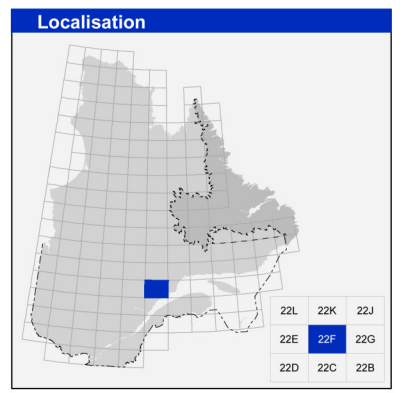
- Complexe de Boudon** (1491 Ma; David et al. en préparation) (mP bou) Paragneiss renfermant des niveaux centrométriques à métriques de roche à diopside (> 3 % calcosilicatées)
- Diatexite déformée à textures porphyroïde et porphyroblastique
- Quartzite de couleur blanchâtre ou grisâtre
- Paragneiss à biotite contenant un peu de sillimanite, de cordiérite, de pyroxène, de grenat et de graphite; paragneiss migmatitisés et migmatite d'origine sédimentaire (plus de 50 % de leuconomes), paragneiss roses (discordantes) et blancs (concordantes)

Les symboles et abréviations utilisés sur cette carte sont décrits dans la publication PRO 2000-08 du ministère des Ressources naturelles et de la Faune.

INDICES

- Gisement métallique**
- Fe ± Ti associés aux anorthosites**
 - 1- Ruisseau David
 - 2- Anomalie F10M14
 - 3- Manicouagan-5
 - 4- Lac Robot
 - 5- Site 5
 - 6- Site 6
 - 11- Nald
 - 44- Fleury-1a
 - 21- Anas-1
- Fe-Ti-P associés aux anorthosites**
 - 7- Lac Brûlé (Gisement A, lentilles B et C)
 - 9- Site 3
 - 10- Site 4
- Ni-Cu ± EGP associés aux intrusions mafiques-ultramafiques**
 - 27- Prospect Tremblay-Côté
 - 28- 07-AE-5190
 - 29- Lac de l'Ouest
 - 30- SC-99-106
 - 31- Millage 18 - Route Hydro-Québec
 - 32- Dave
 - 33- Site 1
 - 34- Site 2
 - 35- B-15
 - 36- Ech. 109734 (Projet Grenville)
 - 37- Ech. 109809 (Projet Grenville)
 - 38- Ech. 109854 (Projet Grenville)
 - 39- B100
 - 40- Julie
 - 41- Hélande
 - 42- Rémous
 - 43- Option P. Boudrias
 - 44- Millage 80
 - 45- B-50
 - 46- Haut-Mag
 - 47- Manic 3 (Lac Louis)
 - 48- B-30
 - 49- B-40
 - 50- Mathilda
- U-Th ± ETR associés aux granitoïdes**
 - 54-55-56- Ametée
 - 57- Anomalie F14R2
 - 58- Anomalie F15G1
- ETR (éléments terres rares)**
 - 52- Rivern
 - 53- 07-AM-292
- Gisement non métallique**
- Apatite (AP), ocre (OC), quartz (QZ), sillimanite (SM)**
 - 8- 07-AD-10204 (AP)
 - 12- Ab-1 (AP)
 - 13- Yves (AP)
 - 14- Fleury 1-1 (AP)
 - 15- Fleury 1-3 (AP)
 - 17- Fleury 1-4 (AP)
 - 18- Fleury 1-5 (AP)
 - 19- Fleury-1b (AP)
 - 20- Désormeux (AP)
 - 23- Fleury 1-2 (AP)
 - 24- Fleury 1-6 (AP)
 - 25- Fleury 1-7 (AP)
 - 26- Allin2 (AP)
 - 28- Rivière Landry (AP)
 - 59- Anse-à-la-Peinture (OC)
 - 60- Lac à la Pluie (SM)
 - 61- Lac Acide (SM)
 - 62- Rivière Boucher (SM)
 - 63- Naldé (QZ)
 - 64- Lac du Salet aux Coches (AP)
 - 65- Lac Croche-Lafliche (QZ)
 - 66- Lac La Chesnaye (QZ)
 - 67- Anomalie F9M13 (AP)
 - 68- Anomalie F10M12 (AP)

- Site d'âge datation isotopique**
- A : 1057.6 ±1.7 Ma
- B : 1007.7 ±1.7 Ma
- C : 1101 ±18 Ma
- D : 1402.1 ±14.8 Ma; 2752.9 ±7.3 Ma (âges hérités)
- E : 1491.4 ±3.1 ±2.9 Ma
- F : 1010.7 ±7.4 Ma
- G : 1060 ±2.9 Ma
- H : <1548 ±11 Ma
- I : 1491 Ma
- J : 1247 ±5 Ma
- K : 1262 ±10 Ma
- L : 1257 ±11 Ma
- M : 1148 ±14 Ma
- N : 1140.5 ±7.4 Ma
- O : 1159 ±12.6 Ma
- P : 1104.5 ±1.6 Ma
- Q : 1022 ±10 Ma
- R : 1495 ±2.82 ±1 Ma
- S : 1018 ±7.3 Ma
- T : 1002 ±5.7 Ma
- U : 1010 ± 1008 Ma
- V : 1047.9 ±4 Ma



Métadonnées	
Surface de référence géodésique :	Ellipsoïde GRS 80
Système de référence géodésique :	NAD 83 compatible avec le système mondial WGS 84
Projection cartographique :	Mercator transverse universelle (MTU), fuseau 19
Longitude d'origine :	69°
Latitude d'origine :	0°

Sources		
Données	Organisme	Année
Géologie :	Ministère des Ressources naturelles et de la Faune, Direction générale de Géologie Québec	2009
Topographie :	Ministère des Ressources naturelles et de la Faune, Direction générale de l'information géographique	1996

Réalisation	
Compilation et modifications :	Abdelali Moukhalil (2009)
Assistance technique :	Frédéric St-Pierre
Production :	Ministère des Ressources naturelles et de la Faune, Direction générale de Géologie Québec
Diffusion :	Ministère des Ressources naturelles et de la Faune, Direction de l'information géographique du Québec

RG 2009-03-C001

Carte du rapport RG 2009-03
Pour obtenir les données les plus récentes concernant cette région, nous vous suggérons de consulter les produits géomatiques du Système d'information géomatière du Québec (SIGÉOM)

Le présent document n'a aucune portée légale.
Dépôt légal - Bibliothèque et Archives nationales du Québec
© Gouvernement du Québec

